

УДК 530.1;539.12

Моделирование поведения бегущей константы КХД

В. В. АНДРЕЕВ, К. С. БАБИЧ

Проведено моделирование бегущей константы КХД на основе феноменологической параметризации для различных режимов поведения.

Ключевые слова: бегущая константа КХД, феноменологическая параметризация, непертурбативная область.

Phenomenological parameterization of running coupling constant is considered for different fields.

Keywords: running constant of QCD, phenomenological parameterization, non-perturbative field.

Введение

Бегущая константа сильного взаимодействия $\alpha_s(Q^2)$ является одной из важнейших характеристик не только квантовой хромодинамики (КХД), но и целого ряда моделей, основанных на КХД. Поэтому её теоретическое описание и экспериментальное исследование остается одной из актуальных проблем. Поскольку основанное на ренорм-групповых уравнениях поведение $\alpha_s(Q^2)$ обладает рядом недостатков (сингулярности Ландау, отсутствие аналитических свойств), в последнее время интенсивно развиваются альтернативные подходы [1–9]. При этом возникает задача подтверждения того или иного подхода путем извлечения значений бегущей константы при различных переданных импульсах Q . Хорошо известно, что значения константы α_s , найденные из экспериментов при высоких переданных импульсах, хорошо описываются пертурбативной КХД. Но самым сложным и интересным является поведение константы сильного взаимодействия $\alpha_s(Q^2)$ в непертурбативной области ($Q < 1$ ГэВ), в которой различные подходы дают различные зависимости от Q .

Целью данной работы является моделирование константы КХД во всей области изменения переданного импульса путем использования феноменологической параметризации, предложенной в [2] и модифицированной с учетом современных экспериментальных данных.

1. О бегущей константе α_s

Как правило, поведение $\alpha_s(Q^2)$, ($Q^2 = -q^2$) получают из решения ренорм-групповых уравнений КХД. Так, рассчитанное вплоть до трехпетлевых поправок в рамках $\overline{\text{MS}}$ -схемы значение $\alpha_s(Q^2)$ описывается соотношением:

$$\alpha_{\text{QCD}}^{(3)}(Q^2) = \frac{4\pi}{\beta_0 \ln z_Q} \left[1 - \frac{2\beta_1 \ln[\ln z_Q]}{\beta_0^2 \ln z_Q} + \frac{4\beta_1^2}{\beta_0^4 \ln^2 z_Q} \left((\ln[\ln z_Q] - 1/2)^2 + \frac{\beta_2 \beta_0}{8\beta_1^2} - \frac{5}{4} \right) \right], \quad (1)$$

где β — функции определяются уравнениями

$$z_Q = \frac{Q^2}{\Lambda^2}, \quad \beta_0 = 11 - \frac{2}{3}n_f, \quad \beta_1 = 51 - \frac{19}{3}n_f, \quad \beta_2 = 2857 - \frac{5033}{9}n_f + \frac{325}{27}n_f^2, \quad (2)$$

а n_f — число кварков с массами, меньшими, чем значение величины Q .

Параметр Λ определяется по значению бегущей константы при $Q^2 = M_Z^2$, т.е. $\alpha_s(M_Z^2) = 0,1184 \pm 0,0007$ [10].

Основной особенностью поведения α_s (1) является расходимость при $Q^2 \rightarrow \Lambda$. Данное поведение является серьезной проблемой исследования непертурбативных эффектов ($Q < 1$ ГэВ). Поэтому в многочисленных подходах, основанных на использовании КХД тем или иным способом, используется “заморозка” сильной константы связи при малых Q^2 [1–3, 8, 11–15]. К аналогичному результату приводит и регуляризация кулоновской части потенциала, выполненная в работах [16, 17]. По этой причине такие константы следует считать эффективными константами КХД [18].

Так, в рамках фоновой пертурбативной теории константа связи модифицируется введением так называемой фоновой массы M_B , которая появляется вследствие взаимодействия глюонов с фоновым полем при малых Q^2 и определяется авторами [8, 19] с помощью фитирования данных по тонкой структуре боттония. Результатом такой модификации является то, что логарифм $\ln(Q^2/\Lambda^2)$, имеющийся в (1), заменяется на величину

$$t_B = \ln \left[\frac{Q^2 + M_B^2}{\Lambda^2} \right], \quad (3)$$

а сама константа сильного взаимодействия в случае двухпетлевого приближения запишется в виде

$$\alpha_{\text{ВРТ}}^{(2)}(Q^2) = \frac{4\pi}{\beta_0 t_B} \left[1 - \frac{2\beta_1 \ln t_B}{\beta_0^2 t_B} \right]. \quad (4)$$

Условие $M_B > \Lambda$ гарантирует отсутствие полюса Ландау.

В работе [3] для объяснения экспериментальных данных по адронным струям, инициированным тяжелыми кварками, предложен набор эффективных констант, названных G_p -моделями. Так, в случае учета двухпетлевых диаграмм, константа сильного взаимодействия представляет собой выражение:

$$\alpha_{\text{D}}^{(2)}(Q^2) = \left[\frac{Q^{2p}}{Q^{2p} + C_p \Lambda_{2p}^2} \right] \frac{2\pi p}{\beta_0 L_p} \left[1 - \frac{2\beta_1 \ln L_p}{\beta_0^2 L_p} \right], \quad (5)$$

где

$$L_p = \frac{1}{p} \ln \left[\frac{Q^{2p}}{\Lambda^2} + C_p \right], \quad C_p \geq 1. \quad (6)$$

Эlegantным методом устранения полюса Ландау является аналитическая пертурбативная теория [4] (см. также [5, 6, 9, 20, 21]), где вместо константы (1), взятой в однопетлевом приближении, предложено использовать выражение

$$\alpha_{\text{an}}^{(1)}(Q^2) = \frac{4\pi}{\beta_0} \left(\frac{1}{\ln z_Q} + \frac{1}{1 - z_Q} \right), \quad (7)$$

называемое в настоящее время аналитической константой Ширкова-Соловцова (см. [22]). Важной особенностью константы (7) является то, что при $Q^2 \rightarrow 0$ константа принимает конечное значение $\alpha_{\text{crit.}} = \alpha_s(0) = 4\pi/\beta_0$ и не зависит от схем перенормировок.

В [15] предложена константа вида

$$\alpha_{\text{W}}^{(1)}(Q^2) = \frac{4\pi}{\beta_0} \left(\frac{1}{\ln z_Q} + \frac{1}{1 - z_Q} \frac{z_Q + b}{1 + b} \left(\frac{1 + c}{z_Q + c} \right)^p \right) \quad (8)$$

с параметрами $b = 1/4$ и $p = c = 4$ для объяснения КХД-поправок.

В работе [2] поведение эффективной константы сильного взаимодействия описывается феноменологическим выражением

$$\alpha_{GI}(Q^2) = \sum_{k=1}^3 \alpha_k \exp[-Q^2 / (4\gamma_k^2)] \quad (9)$$

с коэффициентами $\alpha_1 = 0,25$, $\alpha_2 = 0,15$, $\alpha_3 = 0,2$ и $\gamma_1^2 = 1/4$, $\gamma_2^2 = 5/2$, $\gamma_3^2 = 250$.

К отличному от поведения константы (1) в области малых Q^2 приводит выражение

$$\alpha_N^{(1)}(Q^2) = \frac{4\pi}{\beta_0} \left(\frac{z_Q - 1}{z_Q \ln z_Q} \right), \quad (10)$$

полученное из требования правильных аналитических свойств константы взаимодействия (см., например, [9]). Основным отличием от (1) всех вышеупомянутых констант КХД является более замедленный рост значения эффективных констант при малых Q^2 (см. рисунок 1). Из результатов расчетов следует, что основное отличие предлагаемых в работах [2–4, 6, 8, 9, 15, 19] сильных констант связи приходится на непертурбативную область с $Q < 1$ ГэВ. В области с $Q > 1$ ГэВ все эти константы практически совпадают с поведением стандартной константы КХД (1).

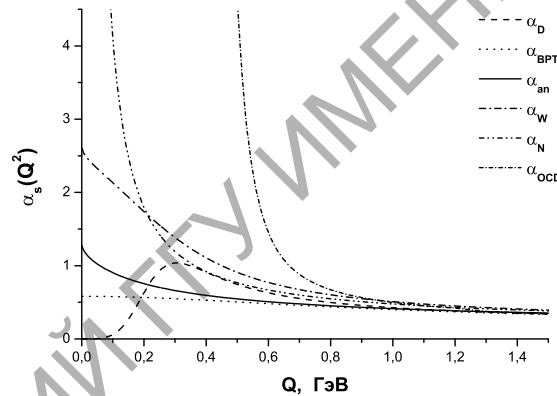


Рисунок 1 — Различные эффективные бегущие константы сильного взаимодействия (см. (1), (4), (5), (7), (8), (10))

2. Моделирование поведения бегущей константы α_s

Таким образом, имеется достаточное большое количество моделей для описания поведения бегущей константы α_s с разной долей феноменологической и теоретической мотивации. Однако, при решении такого рода задач использование констант вида (1)–(8), (10) не всегда удобно. Одной из проблем является нахождение аналитического выражения фурье-образа $\tilde{\alpha}_s(r)$. Эта сложная задача, как правило, делается численно (см., например, [9]). Аналогичная проблема появляется и в моделях, описывающих системы из кварков, при решении уравнений движения (например, [23, 24]).

Дополнительным моментом в этом исследовании является требование того, чтобы константы $\alpha_s(Q^2)$ и $\tilde{\alpha}_s(r)$ имели одинаковый предел при $Q^2 \rightarrow 0$ и $r \rightarrow \infty$ (см. обсуждение этой проблемы в [8]), т.е.

$$\alpha_s(Q^2 = 0) = \tilde{\alpha}_s(r \rightarrow \infty). \quad (11)$$

Поэтому для моделирования поведения бегущей константы и дальнейших расчетов предлагается использовать удобную для аналитических расчетов параметризацию (9) в уточненном виде

$$\alpha_{eff}(Q^2) = \sum_{k=1}^{n=7} \alpha_k \exp \left[-Q^2 / (4\gamma_k^2) \right] . \quad (12)$$

Чем обусловлена возможность такого применения? Во-первых, поскольку очень часто (в составных кварковых моделях и др.) бегущая константа $\alpha_{eff}(Q^2)$ интегрируется, то в этой ситуации важно значение площади, которая находится под кривой, задающей поведение $\alpha_s(Q^2)$. Тогда необязательно использовать функции типа (1), а достаточно использовать ее аппроксимацию (12), которая должна максимально точно воспроизводить хорошо изученную область $Q > 1,5$ ГэВ.

Во-вторых, как и константы (4), (5), (7), (8), выражение (12) при $Q^2 \rightarrow 0$ имеет конечный предел

$$\alpha_{crit.} = \sum_{k=1}^{n=7} \alpha_k . \quad (13)$$

В-третьих, легко убедиться в том, что соотношение (11) для данной параметризации выполняется

$$\alpha_{eff}(Q^2 = 0) = \tilde{\alpha}_{eff}(r \rightarrow \infty) = \sum_{k=1}^{n=7} \alpha_k = \alpha_{crit.} . \quad (14)$$

Действительно, связь константы (12) в импульсном представлении и в координатном может быть представлена в виде [8]:

$$\tilde{\alpha}_{eff}(r) = \frac{2}{\pi} \int_0^{\infty} \frac{\sin(Qr)}{r} \alpha_{eff}(Q^2) dQ . \quad (15)$$

Расчет интеграла (15) с учетом (12) приводит к соотношению

$$\tilde{\alpha}_{eff}(r) = \sum_{k=1}^{n=7} \alpha_k \operatorname{erf}(\gamma_k r) , \quad (16)$$

из которого и следует свойство (14).

В-четвертых, процесс моделирования (“фитирования”) позволяет получить кривые с различным поведением в непертурбативной области. Различные наборы параметров α_k и γ_k получаются из соответствия поведения константы α_s экспериментальным данным и требования совпадения α_s с (1) в области с $Q > 1,5$ ГэВ.

В отличие от оригинальной работы [2], значения параметров α_k и γ_k , полученные нами, различаются. К моменту написания работы [2] не были известны значения константы, полученные при $Q^2 = M_Z^2$

$$\alpha_s(M_Z^2) = 0,1184 \pm 0,0007, \quad (17)$$

и поэтому не удивительно, что $\alpha_{GI}(M_Z^2) = 0,000049$ существенно отличается от (17).

Для моделирования различного поведения константы в непертурбативной области с помощью процедуры фитирования константы (1) выражением (12) нами получены наборы параметров, отличающихся значением $\alpha_{\text{crit.}}$ и значением интеграла

$$\bar{\alpha}_0(\mu) = \frac{1}{\mu} \int_0^{\mu} dQ \frac{\alpha_{\text{eff}}(Q^2)}{\pi} \quad (18)$$

(см. таблицы 1, 2). Оценка (18) для $\mu = 2$ ГэВ сделана в работах [3, 18].

Таблица 1 — Наборы константы (12) с различными $\alpha_{\text{crit.}}$ для режимов вида “заморозка” (см. рисунок 2)

№ набора	$\alpha_{\text{crit.}}$	$\bar{\alpha}_0(2 \text{ ГэВ})$
1-a	$8,809 \pm 1,058$	$0,593 \pm 0,070$
2-a	$3,394 \pm 0,324$	$0,333 \pm 0,033$
3-a	$1,307 \pm 0,037$	$0,207 \pm 0,007$
4-a	$1,078 \pm 0,028$	$0,190 \pm 0,006$
5-a	$0,937 \pm 0,041$	$0,177 \pm 0,008$
6-a	$0,821 \pm 0,040$	$0,166 \pm 0,008$
7-a	$0,667 \pm 0,029$	$0,150 \pm 0,006$

Таблица 2 — Наборы константы (12) с различными $\alpha_{\text{crit.}}$ для режимов с пиком в непертурбативной области (см. рисунок 3)

№ набора	$\alpha_{\text{crit.}}$	$\bar{\alpha}_0(2 \text{ ГэВ})$
1-b	$2,197 \pm 0,091$	$0,289 \pm 0,012$
2-b	$0,000 \pm 0,087$	$0,244 \pm 0,011$
3-b	$0,585 \pm 0,047$	$0,212 \pm 0,007$
4-b	$0,434 \pm 0,047$	$0,198 \pm 0,007$
5-b	$0,797 \pm 0,035$	$0,182 \pm 0,006$
6-b	$0,187 \pm 0,040$	$0,165 \pm 0,008$
7-b	$0,692 \pm 0,040$	$0,155 \pm 0,009$
8-b	$0,300 \pm 0,023$	$0,140 \pm 0,007$

Нами моделируются два вида режимов: первый представляет собой “заморозку” бегущей константы, начиная с некоторого значения Q_0 (см. таблицу 1), а второй имитирует поведение с пиком в непертурбативной области (см. таблицу 2). Значения КХД-константы (1) и ее ошибки, которые используются для вычисления весовых коэффициентов, получены посредством программы, представленной на <http://www-theory.lbl.gov/~ianh/alpha/alpha.html>. Объем точек фитирования изменяется в пределах $125 \div 300$ в зависимости от размера области соответствия константе КХД (1).

Сравнительное поведение констант связи, определяемых уравнениями (1) и различными режимами поведения эффективной константы (12), отображены на рисунках 2 и 3.

Заключение

Таким образом, в данной работе для исследования поведения константы КХД в непертурбативной области проведено моделирование $\alpha_s(Q^2)$ посредством феноменологической параметризации (12) с учетом современных экспериментальных данных [10].

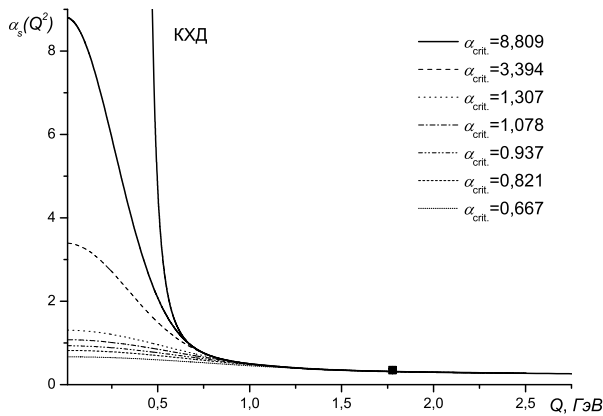


Рисунок 2 — Зависимость бегущей константы сильного взаимодействия для параметризаций (1) и (12) (см. таблицу 1). Квадратиком отображено экспериментальное значение бегущей константы связи.

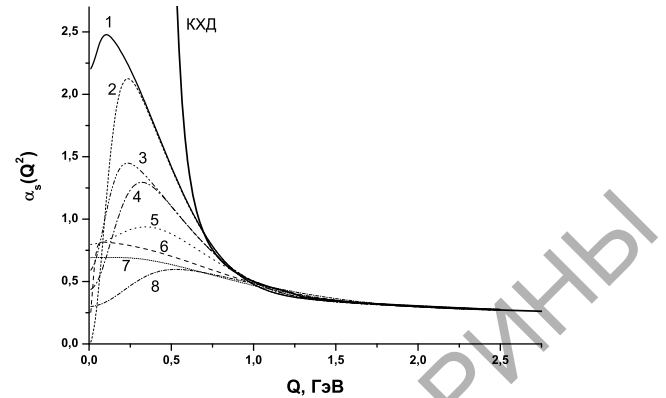


Рисунок 3 — Зависимость бегущей константы сильного взаимодействия для параметризаций (1) и (12). Номера графиков соответствуют номерам режимов поведения в таблице 2.

Литература

- 1 Richardson, J.L. The Heavy quark potential and the Υ , J/Ψ systems / J.L. Richardson // *Physics Letters*. — 1979. — Vol. 82B, N 2. — P. 272–274.
- 2 Godfrey, S. Mesons in a relativized quark model with chromodynamics / S. Godfrey, N. Isgur // *Phys. Rev.* — 1985. — Vol. D32. — P. 189–231.
- 3 Dokshitzer, Y.L. Specific features of heavy quark production. LPHD approach to heavy particle spectra / Y.L. Dokshitzer, V.A. Khoze, S.I. Troian // *Phys. Rev.* — 1996. — Vol. D53. — P. 89–119.
- 4 Shirkov, D.V. Analytic model for the QCD running coupling with universal $\alpha(s)\text{-bar}(0)$ value / D.V. Shirkov, I.L. Solovtsov // *Phys. Rev. Lett.* — 1997. — Vol. 79. — P. 1209–1212.
- 5 Milton, K.A. An analytic method of describing R-related quantities in QCD / K.A. Milton, I.L. Solovtsov, O.P. Solovtsova // *Mod. Phys. Lett.* — 2006. — Vol. A21. — P. 1355–1368.
- 6 Shirkov, D.V. Ten years of the analytic perturbation theory in QCD / D.V. Shirkov, I.L. Solovtsov // *Theor. Math. Phys.* — 2007. — Vol. 150. — P. 132–152.
- 7 Arbuzov, B.A. Infrared non-perturbative QCD running coupling from Bogolubov approach / B.A. Arbuzov // *Phys. Lett.* — 2007. — Vol. B656. — P. 67–73.
- 8 Badalian, A.M. Freezing of QCD coupling $\alpha(s)$ affects the short distance static potential / A.M. Badalian, D. S. Kuzmenko // *Phys. Rev.* — 2002. — Vol. D65. — P. 016004.
- 9 Nesterenko, A.V. Analytic invariant charge in QCD / A.V. Nesterenko // *Int. J. Mod. Phys.* — 2003. — Vol. A18. — P. 5475–5520.
- 10 Review of Particle Physics / K. Nakamura [et al.] // *Journal of Physics G*. — 2010. — Vol. 37. — P. 075021.
- 11 Spectrum of Charmed Quark-Antiquark Bound States / E. Eichten [et al.] // *Phys.Rev.Lett.* — 1975. — Vol. 34. — P. 369–372.

- 12 Charmonium: comparison with experiment / E. Eichten [et al.] // Phys.Rev. — 1980. — Vol. D21. — P. 203.
- 13 Alekseev, A.I. Analyticity and minimality of nonperturbative contributions in perturbative region for $\alpha(s)$ -bar / A.I. Alekseev, B.A. Arbuzov // Mod. Phys. Lett. — 1998. — Vol. A13. — P. 1747–1756.
- 14 Lattice calculation of $1/p^{**2}$ corrections to $\alpha(s)$ and of $\Lambda(\text{QCD})$ in the MOM scheme / P. Boucaud [et al.] // JHEP. — 2000. — Vol. 04. — P. 006.
- 15 Webber, B.R. QCD power corrections from a simple model for the running coupling / B.R. Webber // JHEP. — 1998. — Vol. 10. — P. 012.
- 16 Frewer, M. Renormalization of an effective model Hamiltonian by a counter term / M. Frewer, T. Frederico, H.C. Pauli // Nucl. Phys. Proc. Suppl. — 2002. — Vol. 108. — P. 239–241.
- 17 Pauli, H.-C. First successful renormalization of a QCD-inspired Hamiltonian [Electronic resource] / H.-C. Pauli. — 2003. — Mode of access: <http://arxiv.org/pdf/hep-ph/0310328>. — Date of access: 14.01.2008.
- 18 Dokshitzer, Y.L. Power corrections to event shape distributions / Y. L. Dokshitzer, B.R. Webber // Phys. Lett. — 1997. — Vol. B404. — P. 321–327.
- 19 Badalian, A.M. A short distance quark antiquark potential / A.M. Badalian, D.S. Kuzmenko // Phys. Atom. Nucl. — 2004. — Vol. 67. — P. 561–563.
- 20 Milton, K.A. Remark on the perturbative component of inclusive tau decay / K.A. Milton, I.L. Solovtsov, O. P. Solovtsova // Phys. Rev. — 2002. — Vol. D65. — P. 076009.
- 21 Nesterenko, A.V. New analytic running coupling in spacelike and timelike regions / A.V. Nesterenko // Phys. Rev. — 2001. — Vol. D64. — P. 116009.
- 22 Baldicchi, M. Running coupling constant and masses in QCD, the meson spectrum / M. Baldicchi, G.M. Prospero // AIP Conf. Proc. — 2005. — Vol. 756. — P. 152–161.
- 23 QCD coupling below 1-GeV from quarkonium spectrum [Electronic resource] / M. Baldicchi, A.V. Nesterenko, G. M. Prospero [et al.]. — 2007. — Mode of access: <http://arxiv.org/pdf/hep-ph/0705.1695>. — Date of access: 14.01.2008.
- 24 Bound state approach to the QCD coupling at low energy scales / M. Baldicchi, A.V. Nesterenko, G.M. Prospero [et al.] // Phys. Rev. Lett. — 2007. — Vol. 99. — P. 242001.